

## ПРОГНОЗИРОВАНИЕ ДЕТОНАЦИИ ПО ЗАДЕРЖКАМ САМОВОСПЛАМЕНЕНИЯ ТОПЛИВА

**А. В. Капустин<sup>1</sup>, А. М. Жданов<sup>1</sup>, В. Л. Чумаков<sup>2</sup>,  
С. Н. Девянин<sup>2</sup>, А. В. Бижгаев<sup>2</sup>**

<sup>1</sup>ФГБОУ ВО «Новгородский государственный университет имени Ярослава Мудрого», г. Великий Новгород, Российской Федерации

<sup>2</sup>ФГБОУ ВО «Российский государственный аграрный университет - МСХА имени К.А. Тимирязева», г. Москва, Российской Федерации

*Аннотация. Анализируется зависимость задержек самовоспламенения и возникновения детонации в двигателях для изооктана и товарных бензинов с разным октановым числом. Отмечается значительное влияние на детонацию роста доли парафиновых углеводородов с задержкой самовоспламенения по низкотемпературному принципу.*

*Ключевые слова:* детонация, степень сжатия, задержки самовоспламенения, двухстадийный механизм самовоспламенения, состав топливных углеводородов.

## DETONATION PREDICTION BASED ON FUEL SELF-IGNITION DELAYS

**A. V. Kapustin<sup>a</sup>, A. M. Zhdanov<sup>a</sup>, V. L. Chumakov<sup>b</sup>,  
S. N. Devyanin<sup>b</sup>, A. V. Bizahaev<sup>b</sup>**

<sup>a</sup>*Novgorod State University named after Yaroslav the Wise, Veliky Novgorod, Russian Federation*

<sup>b</sup>*Russian State Agrarian University - Moscow Timiryazev Agricultural Academy, Moscow, Russian Federation*

*Abstract. The dependence of self-ignition delays and the occurrence of detonation in engines for iso-octane and commercial gasolines with different octane numbers is analyzed. There is a significant influence on the detonation of the increase in the proportion of paraffinic hydrocarbons with a delay in self-ignition according to the low-temperature principle.*

*Keywords:* detonation, compression ratio, self-ignition delays, two-stage self-ignition mechanism, composition of fuel hydrocarbons.

Исследования самовоспламенения углеводородов, входящих в состав бензинов, показывают тесную связь между

длительностями задержек самовоспламенения и детонационной стойкостью этих углеводородов. Чем больше длительность задержки самовоспламенения, тем выше октановое число углеводородов. В частности, на рисунке 1 представлены графики задержек самовоспламенения ( $z$ ) парафиновых (алканов) углеводородов и степени сжатия ( $\epsilon$ ) ограничивающей условиями детонации в зависимости от октанового числа топлива по исследовательскому методу (ОЧИ) [1,2], которые наглядно подтверждают такую связь.

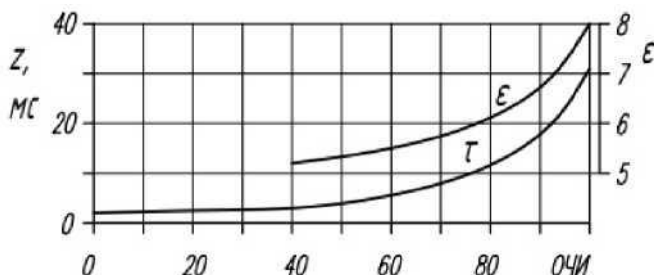


Рисунок 1 - Зависимости степени сжатия при стандартной интенсивности детонации и задержек самовоспламенения парафиновых углеводородов от их октанового числа на установке ИТ9

В работе [3] показано, что если известна формально-кинетическая зависимость задержки самовоспламенения, то момент самовоспламенения в условиях продолжающегося сжатия можно определить по выражению вида [3]:

$$t = J_0^{-1} \ln(z) - dT > 0 \quad (1)$$

где:  $t$  - время,  $z$  - эмпирическое формально-кинетическое выражение задержки самовоспламенения, полученное при исследовании самовоспламенения в условиях постоянного объема различными методами.

Из этих методов наиболее близок по условиям развития самовоспламенения заряда в двигателях метод исследования в поршневых установках адиабатического (импульсного) сжатия со стопорением поршня.

В работе [4] выполнены такие исследования самовоспламенения двух эталонных топлив: изооктана (далее 04100) и топливной эталонной смеси, состоящей из 60 % по объему изооктана и

40 % нормального гептана (далее 0460). Изучались горючие смеси стехиометрического состава (коэффициент избытка воздуха равен а = 1). Показано, что изооктан и изооктано-гептановая смесь 0460 (как и другие парафиновые углеводороды) имеют двухстадийный механизм самовоспламенения. Для обоих топлив суммарная задержка самовоспламенения ( $z$ ) определяется суммой задержек: низкотемпературной (холоднопламенной) стадии ( $z_{\text{НТ}}$ ) и высокотемпературной стадии ( $z_{\text{ВТ}}$ ):

$$z = z_{\text{НТ}} + z_{\text{ВТ}} \quad (2)$$

Задержку низкотемпературной стадии авторы делят на две составляющие

$$z_{\text{НТ}} = z_{\text{Н1}} + z_{\text{Н2}} \quad (3)$$

Каждая из задержек  $Zy$  ( $z_{\text{Н1}}$ ,  $z_{\text{Н2}}$ ,  $z_{\text{ВТ}}$ ) описывается формально-кинетическим выражением вида  $z, - = 10^{14} \cdot 10^{\alpha} \cdot p^n \cdot i \cdot e^{-\Delta H/m}$ .

Интегральное выражение (1) для двухстадийного самовоспламенения с учетом (2) можно преобразовать к следующему виду

$$\begin{aligned} J &= \int_0^{\infty} \frac{dt}{\rho} = \int_0^{\infty} \frac{dz}{\rho} = \\ &= \int_0^{\infty} \frac{dz}{\rho} = \int_0^{\infty} \frac{dz}{\rho_{\text{НП}}} + \int_0^{\infty} \frac{dz}{\rho_{\text{ВТ}}} = J_{\text{НП}} + J_{\text{ВТ}}, \end{aligned} \quad (4)$$

где  $J_{\text{НП}}$  - интеграл, характеризующий вклад низкотемпературной (холоднопламенной) стадии в общий процесс развития самовоспламенения;  $J_{\text{ВТ}}$  - интеграл, характеризующий соответственно вклад высокотемпературной стадии самовоспламенения.

Длительность задержки самовоспламенения обратно пропорциональна скорости предпламенных химических реакций. Если допустить, что предпламенные химические реакции каждого топлива, входящего в топливную смесь, протекают независимо друг от друга, а общая скорость брутто-реакции пропорциональна их мольным долям, то можно записать:

$$w_{CM} = w_{100} \cdot \Gamma_{100} + w_{60} \cdot \Gamma_{60} \quad (5)$$

где  $\Gamma_{100}$ ,  $\Gamma_{60}$  - мольные доли соответственно 04100 и 0460;

$w_{100}$  и  $w_{60}$  - скорости предоплаченных химических реакций 04100 и 0460.

Отсюда, задержку самовоспламенения смеси этих топлив можно определить по выражению

$$z_{CM} = \frac{1}{w_{100} + w_{60}} \cdot \frac{\Gamma_{100}}{\Gamma_{60}} \quad (\text{г/л})$$

где:  $z_{100}$ ,  $z_{60}$ - задержки самовоспламенения 04100 и 0460;

$z_{cm}$  - задержка самовоспламенения топливной смеси этих топлив.

Учитывая, что молярные массы и плотности топлив 04100 и 0460 незначительно отличаются по величине, то можно допустить, что мольные доли равны их объемным долям в жидкой фазе. В этом случае октановое число смеси топлив 04100 и 0460 можно определить по формуле:

$$04_{cm} = \Gamma_{100}^x 100 + \Gamma_{60}^x 60 \quad (7)$$

При разработке расчетной программы в исходные данные удобно вводить октановое число смеси. Если к уравнению (7) добавить уравнение:

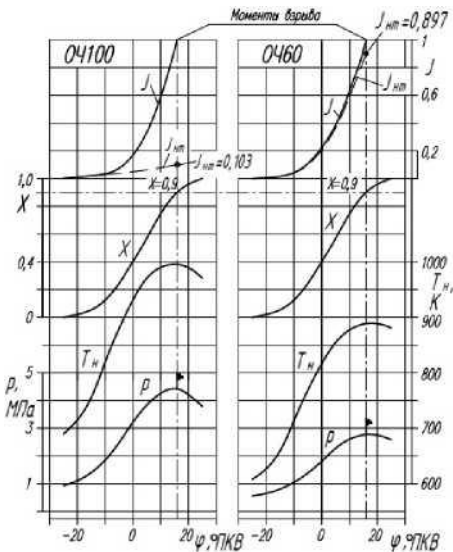
$\Gamma_{100}^x 100 + \Gamma_{60}^x 60 = 1$  (8) то совместное решение уравнений (7) и (8) дает выражения для расчета долей топливной смеси при заданном октановом числе:

$$\Gamma_{100} = (04_{cm} - 60)/40; \quad \Gamma_{60} = 1 - \Gamma_{100} \quad (9)$$

где значение  $04_{cm}$  вводится в исходные данные расчетной программы и справедливо в диапазоне  $60 < 04_{cm} > 100$  единиц октанового числа.

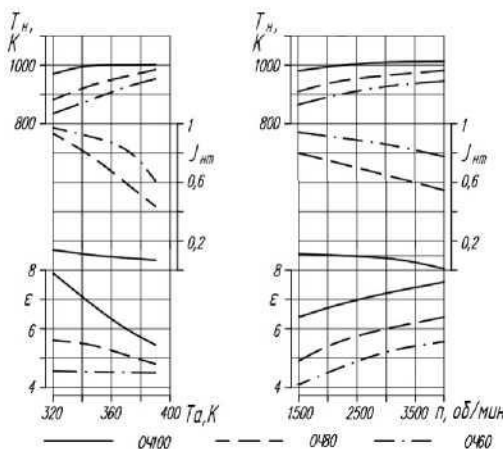
Изложенная методика расчета момента самовоспламенения (взрыва) использована в математической модели термодинамического цикла двигателя, особенности которой изложены в [5].

На рисунке 2 представлены показатели, характеризующие процессы развития самовоспламенения несгоревшего заряда для топлив 04100 и 0460 при следующих условиях: длительность тепловыделения - 50  $^{\circ}\text{ПКВ}$ ; угол зажигания - оптимальный, обороты двигателя - 2000 об/мин; температура в начале сжатия - 350 К; коэффициент наполнения - 0,9. Характеристика выгорания топлива  $X = f(p)$  для обоих топлив одинакова. Детонация возможна, если в момент взрыва остается часть (доля) несгоревшего топлива. Условно эта доля остаточного топлива принята равной 0,1 и, соответственно, доля сгоревшего топлива равняется  $X = 0,9$  (рисунок 2). В расчетах, последовательным приближением определялась степень сжатия  $\xi$ , при которой выполняется условие самовоспламенения  $Y \sim 1$  при  $X \sim 0,9$ .



**Рисунок 2 - Изменение показателей, характеризующих развитие самовоспламенения несгоревшей части заряда:**  $p$  - текущее давление цикла;  $T_H$  - температура несгоревшей части заряда;  $X$  - доля сгоревшего топлива;  $J$  - интеграл суммарной обратной задержки самовоспламенения;  $J_{HM}$  — интеграл обратной задержки низкотемпературной стадии самовоспламенения; — момент взрыва

Как следует из рисунка 2, в случае изооктана самовоспламенение преимущественно развивается по высокотемпературному механизму, а смесь 0460 - по низкотемпературному. Поэтому степень сжатия по условию детонации (самовоспламенения) для топлива 0460 практически не меняется в исследуемом диапазоне начальной температуры, а для топлива 04100 это изменение очень сильное. Топливо 0480 по своему поведению ближе к 0460 (рисунок 3). Влияние на самовоспламенение низкотемпературной стадии на него более сильное, чем высокотемпературной, хотя по октановым единицам находится в средине между 04100 и 0460. Получается, что добавки топлив с невысоким октановым числом сильнее влияют на октановое число смеси из высокооктанового и низкооктанового топлив. Создавая бензины, следует в первую очередь стремиться убрать из него низкооктановые углеводороды (углеводороды с низкой детонационной стойкостью).



**Рисунок 3 - Зависимости степени сжатия из условий детонации ( $\epsilon$ ), вклада в развитие самовоспламенения низкотемпературной стадии ( $M_{нр}$ ) и температуры несгоревшего заряда ( $T_n$ ) от начальной температуры цикла ( $T_a$ ) и скорости двигателя**

#### Выводы.

1. Расчет самовоспламенения несгоревшей части заряда в поршневом двигателе с искровым зажиганием на основе формально-кинетических выражений задержек самовоспламенения топлив, полученных в установках адиабатного сжатия со стопорением поршня, в случае топлив с двухстадийным механизмом самовоспламенения позволяет оценить вклад каждой стадии в общий процесс и вести направленный поиск методов подавления самовоспламенения, а, следовательно, и детонации.

2. При смеси двух топлив, высокооктанового и низкооктанового, относительный вклад в развитие самовоспламенения больше у низкооктанового топлива. Поэтому для создания более высокооктановых топлив в первую очередь следует уменьшать долю самых низкооктановых топливных компонентов.

3. Важно развивать исследования по самовоспламенению бензиновых углеводородов в установках импульсного сжатия с целью получения формально-кинетических выражений по задержкам самовоспламенения. На основе этого можно расчетным путем вести поиск наиболее эффективных методов повышения антидетонационных свойств двигателей.

## **БИБЛИОГРАФИЧЕСКИЙ СПИСОК**

1. Забрянский, Е. И. Детонационная стойкость и воспламеняемость моторных топлив / Е. И. Забрянский, А. П. Зарубин. - М.-Л. : Химия, 1965. -212 с.
2. Livedahl, W. I. Multistage autoignition of engine fuels / W.I. Livedahl // In: Fifth symposium (international) in. combustion. - №4 Reinhold, 1955. - p. 372-385.
3. Ikegami, M. A consideration on the relation between laminas burning, velocity and ignition delay / M. Ikegami, I. Nanba // Bull. JSME. - 1974. - v. 17. - № 104. -Pp. 248-255.
4. Воинов, А. Н. Анализ макрокинетических зависимостей при низко- и высокотемпературном самовоспламенении углеродовоздушных смесей / А. Н. Воинов, Д. И. Скороделов. // Труды МАДИ. Двигатели внутреннего сгорания. - 1972. - Вып. 49. - С. 82-90.
5. Дицманидзе, О. Н. Повышение параметрической надежности автомобильных двигателей / О. Н. Дицманидзе, Д. В. Варнаков // Ремонт. Восстановление. Модернизация. - 2007. - №5. - С. 2-7.
6. Капустин, А. В. Математическая модель рабочего цикла двигателя с искровым зажиганием / А. В. Капустин, С. В. Смирнов, В. Л. Чумаков // Чтения академика В. Н. Болтинского. - 2021. - С. 86-95.
7. Дицманидзе, О. Н. Исследования показателей тепловыделения газовых двигателей / О. Н. Дицманидзе, А. С. Афанасьев, Р. Т. Хакимов // Записки Горного института. - 2018. - Т. 229. - С. 50-55. - DOI 10.25515/PMI.2018.1.50.

### ***Об авторах:***

**Капустин Александр Васильевич**, доцент, ФГБОУ ВО «Новгородский государственный университет имени Ярослава Мудрого» (173003, Российская Федерация, Великий Новгород, Большая Санкт-Петербургская ул., 41), кандидат технических наук, доцент.

**Жданов Артем Михайлович**, студент, ФГБОУ ВО «Новгородский государственный университет имени Ярослава Мудрого» (173003, Российская Федерация, Великий Новгород, Большая Санкт-Петербургская ул., 41).

**Чумаков Валерий Леонидович**, профессор кафедры тракторов и автомобилей, ФГБОУ ВО «Российский государственный аграрный университет - МСХА имени К. А. Тимирязева» (127434, Российская Федерация, Москва, ул. Тимирязевская, 49), кандидат технических наук, профессор.

**Девягин Сергей Николаевич**, профессор кафедры тракторов и автомобилей, ФГБОУ ВО «Российский государственный аграрный университет - МСХА имени К. А. Тимирязева» (127434, Российская Федерация, Москва, ул. Тимирязевская, 49), доктор технических наук, профессор.

**Бижаев Антон Владиславович**, доцент кафедры тракторов и автомобилей, ФГБОУ ВО «Российский государственный аграрный университет - МСХА имени К. А. Тимирязева» (127434, Российская Федерация, Москва, ул. Тимирязевская, 49), кандидат технических наук.

*About the authors:*

**Alexander V. Kapustin**, Associate Professor, Yaroslav the Wise Novgorod State University (173003, Russian Federation, Veliky Novgorod, Bolshaya St. Petersburg st., 41), Cand.Sc. (Engineering), Associate Professor.

**Artem M. Zhdanov**, student, Yaroslav the Wise Novgorod State University (173003, Russian Federation, Veliky Novgorod, Bolshaya St. Petersburg st., 41).

**Valery L. Chumakov**, professor, Department of Tractors and Automobiles, Russian State Agrarian University - Moscow Timiryazev Agricultural Academy (127434, Russian Federation, Moscow, Timiryazevskaya st., 49), Cand.Sc. (Engineering), professor.

**Sergey N. Devyanin**, professor, Department of Tractors and Automobiles, Russian State Agrarian University - Moscow Timiryazev Agricultural Academy (127434, Russian Federation, Moscow, Timiryazevskaya st., 49), D.Sc. (Engineering), professor.

**Anton V. Bizhaev**, associate professor, Department of Tractors and Automobiles, Russian State Agrarian University - Moscow Timiryazev Agricultural Academy (127434, Russian Federation, Moscow, Timiryazevskaya st., 49), Cand.Sc. (Engineering).